

کاربرد بیوانفورماتیک و مهندسی ژن جهت طراحی کلون بهینه، برای افزایش تولید پروتئین فعال کنندهٔ نوتروفیل هلیکوباکترپیلوری در اشریشیا کلی

محمد علی حقیقی^۱، دکتر اشرف محبتی مبارز^۲، دکتر هاتف علی سلمانیان^۳، دکتر محمد رضا زالی^۴،
دکتر سید محمد موذنی^۵، دکتر علی اصغر کارخانه^۶

mmmbarez@modares.ac.ir

نویسنده‌ی مسؤول: تهران، دانشگاه تربیت مدرس، دانشکده‌ی علوم پزشکی، گروه باکتری شناسی پزشکی

دربافت: ۹۱/۰۵/۲۱ پذیرش: ۹۱/۱۱/۱۵

چکیده

زمینه و هدف: پروتئین فعال کنندهٔ نوتروفیل در هلیکوباکترپیلوری (HP-NAP) از مهم‌ترین فاکتورهای بیماری‌زایی این باکتری است که از اهمیت بهسازایی در ایجاد اینمی حفاظتی بر علیه این پاتوژن برخوردار است. این آنتی ژن کاندیدای بسیار مطروحی به عنوان بخشی از واکسن‌های چند قسمتی بر علیه این باکتری در مطالعات کلینیکی می‌باشد. بدليل اهمیت پروتئین HP-NAP در این مطالعه از آن به عنوان الگویی برای بهینه کردن ژن‌های هترولوگ که محتوای تیمین و آدنین بالا و میزان بیان پایینی در باکتری اشریشیا کلی دارند، استفاده شد.

روش بررسی: با کاربرد علوم بیوانفورماتیک ژن کد کنندهٔ این پروتئین برای بیان حداکثری در میزان مربوطه بهینه و سپس ساخته شد.

یافته‌ها: در بهینه کردن ژن HP-NAP عوامل مختلفی تغییر داده شد. کدن‌ها به کدن‌های رایج در باکتری اشریشیا کلی تغییر کرد، محتوای $G+C$ از ۳۸ درصد به ۴۵ درصد افزایش یافت و ساختارهای فضایی نامناسب در ساختمان دوم mRNA شکسته شد، این تغییرات منجر به طولانی شدن نیمه عمر mRNA و افزایش قابل ملاحظه‌ی بیان پروتئین نوترکیب HP-NAP به میزان حداقل ۱۰۰ میلی‌گرم در لیتر گردید.

نتیجه‌گیری: کاربرد ابزار بیوانفورماتیک در افزایش و بهینه‌سازی بیان پروتئین HP-NAP در باکتری اشریشیا کلی موفق بود. با توجه به نتایج این مطالعه به نظر می‌رسد کاربرد این ابزارها روشنی منطقی در بهینه کردن ژن‌هایی با منشا متفاوت جهت بیان در میزان‌های بیانی دیگر باشد.

واژگان کلیدی: هلیکوباکترپیلوری، بیوانفورماتیک، بهینه‌سازی، پروتئین نوترکیب فعال کننده نوتروفیل، کلونویان

مقدمه

بالاتر است (۱ و ۲). هرچند این عفونت در اکثر موارد (۸۰ تا ۹۰ درصد) بدون علایم باقی می‌ماند ولی عفونت به هلیکوباکتر پیلوری عامل مستعد کنندهٔ مهمی برای تکوین

تقریباً نیمی از جمعیت جهان در بخش فوقانی دستگاه گوارش خود حامل باکتری هلیکوباکترپیلوری بوده، این در حالی است که شدت این عفونت در کشورهای جهان سوم

- ۱- دانشجویی دکترای تخصصی باکتری شناسی پزشکی، گروه باکتری شناسی، دانشکده‌ی پزشکی، دانشگاه تربیت مدرس
- ۲- دکترای تخصصی باکتری شناسی، دانشیار دانشگاه تربیت مدرس
- ۳- دکترای تخصصی بیوتکنولوژی، دانشیار پژوهشکده زیست فن آوری گیاهی، مرکز ملی تحقیقات مهندسی ژنتیک و زیست فن آوری
- ۴- متخصص داخلی، استاد مرکز تحقیقات بیماری‌های گوارش و کبد، دانشگاه علوم پزشکی شهید بهشتی
- ۵- دکترای تخصصی ایمونولوژی، دانشیار دانشگاه تربیت مدرس
- ۶- دکترای تخصصی ژنتیک مولکولی، استاد یار پژوهشکده زیست فن آوری صنعت و محیط زیست، مرکز ملی تحقیقات مهندسی ژنتیک و زیست فن آوری

(Plasminogen Activator Inhibitor-2) PAI2 (Tissue Factor) سرانجام تشکیل فیرین و فعالیت‌های تروموتیک را افزایش می‌دهد و بدین ترتیب بارسوب فیرین روی دیواره‌ی باکتری از فاگوسیت شدن آن جلوگیری می‌نماید و علاوه بر آن با جلوگیری از تجزیه‌ی فیرین و خروج ضایعات بافتی در محل عفونت از التیام بافتی جلوگیری کرده، گاستریت مزمن و جراحات بافتی ایجاد می‌نماید. این پروتئین سبب تکامل سلول‌های دندریتیک نابالغ و تمایز مونوپلیت‌ها به سلول‌های دندریتیک بالغ می‌شود و بیان MHC II و تولید IL-12 را در این سلول‌ها افزایش می‌دهد^(۷). از ویژگی‌های مهم این پروتئین در جذب و فراخوانی سلول‌های نوتروفیل در مخاط معده می‌باشد که در تکوین عفونت موثر بوده، میزان آسیب‌های بافتی بستگی به شدت حضور آن‌ها دارد. مهاجرت سریع نوتروفیل‌ها به محل عفونت با تولید ایترولوکین‌ها نه تنها شرایط کموتاکتیکی را برای حضور بیشتر نوتروفیل‌ها بلکه برای سایر سلول‌هایی نظیر مونوپلیت‌ها، دندریتیک‌ها، لنفوپلیت‌ها از طریق تولید CCL3 و CCL4 فراهم می‌آورد^(۸). اشکال مونومری و دوازده وجهی پروتئین HP-NAP توانایی تحریک نوتروفیل را دارند بخش (L69-L75) تحریک کننده‌ی نوتروفیل‌ها، هلیکس‌های H3 (K89-E114) و کویل ارتباطی بین آن‌ها و H4 (Thr76-lys83 و H63-Thr68) می‌باشد^(۹). TLR2 گیرنده‌ی اختصاصی HP-NAP بر روی سلول بوده، خواص ایمونومادولاتوری این پروتئین بر روی سیستم ایمنی بدن برای تغییر سمت پاسخ‌ها از Th2 به Th1 با اتصال به این گیرنده آغاز شده و با تولید ایترولوکین‌های ۱۲ و ۲۳ مدیریت می‌گردد^(۱۰). به دلیل این ویژگی‌ها HP-NAP ابزار جدید و مناسبی است که می‌تواند در طراحی واکسن‌های مناسب مفید باشد^(۱۱). استراتژی کلون و بیان آنتی ژن‌های پروتئینی راهکار مناسبی جهت مطالعات ساختاری و ایمونولوژیکی آنتی ژن‌های میکروبی است ولی خواستگاه

زخم پیتیک و ابتلا به سرطان معده شناخته شده است^(۳). این باکتری به عنوان عامل سرطان‌زا از طرف سازمان جهانی بهداشت معرفی شده، در حال حاضر از دیدگاه پزشکی، مسؤول بسیاری از مرگ و میرها در دنیا است^(۵). شیوه‌ی درمان چند دارویی بیماران در ریشه کنی این عفونت موثر می‌باشد اما افزایش شیوع مقاومت دارویی و عفونت مجدد بعد از درمان آنتی‌بیوتیکی لزوم و اکسیناسیون را بر علیه این باکتری مورد تأکید قرار می‌دهد^(۲). به همین منظور تحقیقات گسترده‌ای جهت شناسایی عوامل بیماری‌زا بی و خواص ایمنی‌زا بی اها برای طراحی و ساخت واکسنی مناسب علیه این باکتری در حال انجام است. پروتئین Neutrophil Activating Protein) HP-NAP فاکتورهای بیماری‌زا بیماری شناخته شده در این باکتری است که نقش به سزایی در شکل‌گیری عفونت و تکوین علایم بیماری در میزان را دارد. این آنتی ژن توسط تمامی سویه‌های بالینی هلیکو‌باکتری‌بیلوری بیان شده و حضور آنتی‌بادی ضد آن در سرم بیماران مبتلا به عفونت با این باکتری دلیل بر و خامت بیماری است چرا که بیشتر در مراحل حاد بیماری حضور آن قابل مشاهده می‌باشد^(۸-۶) مطالعات ساختار این پروتئین شباهت آن را به پروتئین‌های محافظت کننده (DNA protecting protein) DNA به آهن (Ferritin like Protein) نشان می‌دهد^(۱۱). خواص بیولوژیک متعدد این پروتئین در شرایط آزمایشگاهی و بالینی مورد بررسی و تایید قرار گرفته است. این پروتئین غشایی بوده و از طریق اتصال به موسین، به مخاط معده می‌چسبد. به احتمال زیاد HP-NAP پس از لیز سلولی آزاد می‌گردد و به دنبال عبور از سلول‌های اپیتلیال به بافت‌های (Mast cell) زیرین رسیده، با تحریک سلول‌های ماست (Tumor Necrotic Factor Alpha) TNFα ساکن در محل و تولید التهاب ایجاد می‌نماید. علاوه بر این با تاثیر بر روی مونوپلیت‌ها با افزایش تولید فاکتور بافتی

بررسی جایگاههای برش آنزیمی: جایگاههای برش آنزیمی در توالی ژنی HP-NAP با کاربرد نرمافزار تعیین شد. با الگو قرار دادن نقشه ژنتیکی پلاسمیدهای pUC57 (+) pET28a(+) جایگاه برش آنزیمی *BamHI* در پایین دست و *HindIII* در بالا دست این ژن تعییه گردید.

بهینه کردن (Optimization) و کلون سازی ژن **HP-NAP**: توالی بازهای ژن HP-NAP (435 bp) به همراه جایگاههای انتخاب شده برش آنزیمی، با کاربرد نرمافزار Optimum Gene TM Algorithm جهت بیان در باکتری *E. coli* بهینه سازی شد (۲۰). کلون سازی ژن بهینه شده (HP-NAP) درون پلاسمید pUC57 توسط شرکت Genescript (Piscataway, New Jersey USA) www.genescrit.com انجام گردید. برای پیشگیری از هرگونه تغییر ترافق در بازها، توالی ژن سنتز شده فوق (Sequencing) توسط شرکت سازنده تعیین گردید و با کاربرد نرمافزار Vector NTI AdvancedTM 11 (Invitrogen; USA) ترافق اسید آمینه‌های کد شونده توسط این ژن بررسی و با توالی پروتئین مرجع مقایسه شد.

پیش بینی ساختار دوم RNA پیامبر (mRNA): پیش بینی و مقایسه ساختار دوم و پایداری mRNA قبل و بعد از بهینه شدن ژن HP-NAP به کمک نرمافزار Centrofold انجام گردید (۲۱).

طراحی آغازگرهای PCR و شرایط Primer: طراحی آغازگرهای PCR و شرایط Primer با الگو قرار دادن توالی بهینه شده ژن HP-NAP و توالی ژنی پلاسمیدهای pET28a(+) (Novagen; USA) pUC57 و کاربرد نرمافزار آنالیز آغازگر (OLIGO Primer Analysis Software) OLIGO آغازگرهای لازم جهت آزمایش‌های تاییدی کلونینگ این ژن طراحی گردید. تکثیر ژن مورد نظر با PCR تحت برنامه‌ی دمایی شامل ۹۴ درجه‌ی سانتی‌گراد به مدت ۵ دقیقه، ۳۰ دوره

متفاوت ژن‌ها، تفاوت در محتوای درصد G+C و تفاوت در کدن‌های مورد استفاده در سلول‌های مختلف سبب کاهش میزان بیان پروتئین‌های نوترکیب در سیستم‌های پروکاریوتی گردیده است. راه کار مناسبی که هم‌اکنون پیش رو قرار گرفته، استفاده از بهینه سازی ژن می‌باشد. در این روش کدن کد کننده‌ی اسید آمینه در یک ژن با منشا (Codon usage) (Heterologous) با کدن رایج (Heterologous) همان اسید آمینه در میزان جدید تغییر می‌یابد و سبب افزایش بیان ژن هترولوگوس می‌گردد. از این روش در مطالعات تهیه‌ی واکسن‌ها در میزان‌های پروکاریوتی و یوکاریوتی (گیاهی) استفاده شده است (۱۶ و ۱۷). کاربرد این روش‌ها در اصلاح عملکرد آنزیم‌ها و بیان انبوه آن‌ها در صنعت نیز مورد توجه قرار گرفته است. نبود راه کار مناسب در مطالعات قبلی جهت افزایش مقادیر کم بیان پروتئین نوترکیب HP-NAP در میزان‌های بیانی همچون باکتری اشريشیاکلی (E. coli) یا باسیلوس سوبتیلیس (B. subtilis) از مشکلات جدی کاربرد این پروتئین در مطالعات اینمی‌زایی و تولید واکسن شمرده می‌شود (۱۸ و ۱۹). اگر چه قبل از افزایش بیان این پروتئین بیشتر بر روی بهینه کدن شرایط محیط کشت تمرکز شده بود (۱۹)، لیکن پیشرفت علوم بیوانفورماتیک راه حل‌های منطقی را برای تغییرات بر روی خود ژن و نحوه بیان آن بدون تغییر در ردیف اسیدهای آمینه پروتئین کد شونده‌ی پیش رو قرار داد. هدف این مطالعه افزایش بیان پروتئین HP-NAP در باکتری اشريشیاکلی به روش بهینه سازی ژن این پروتئین به کمک ابزارهای بیوانفورماتیکی بود.

روش بررسی

هم ردیفی توالی (Alignment): توالی اسیدهای آمینه پروتئین HP-NAP در سویه‌های مختلف هلیکو باکتر پیلویری، از بانک ژنی NCBI Gene Bank استخراج و با استفاده از نرم افزار میزان شباهت آنها با هم مقایسه گردید.

شدن ژن HP-NAP در (+) pET28a(+) از هضم آنزیمی آنزیم‌های محدودکننده یاد شده روی پلاسمیدهای نوترکیب خالص شده، استفاده شد (۱۴).

بیان و خالص‌سازی پروتئین نوترکیب HP-NAP پلاسمید نوترکیب pET28a(+)-NAP به میزبان بیانی اشريشیاکولی BL21-DE3 انتقال داده شد. جهت غربالگری توانایی بیان باکتری‌های حاوی پلاسمید نوترکیب رشد یافته بر روی LB جامد حاوی آنتی‌بیوتیک کانامایسین، کشت مجزای کلی در ۳ میلی‌لیتر محیط کشت LB مایع حاوی ۵۰ میکروگرم در میلی‌لیتر کانامایسین تهیه و در انکوباتور با حرکت دورانی (۲۰۰ دور در دقیقه) و دمای ۳۷ درجه سانتی‌گراد به مدت یک شب گرم‌گذاری گردید و از آن‌ها جهت کشت مجدد ۱۵ محیط مایع LB با شرایط قبل استفاده شد و زمانی که کدورت محیط کشت در طول موج ۶۰۰ نانومتر به حدود ۱/۶ تا ۱ رسید، پلاسمیدهای نوترکیب با ۱ میلی‌مولار ایزوپروپیل-بتا-دی-تیوگالاكتوپیرانوزید (IPTG) القا شدند. پنج نمونه در زمان‌های صفر، سه، پنج، هفت، هجده ساعت از کشت باکتری‌های القا شده تهیه و میزان بیان PAGE-SDS پروتئین در زمان‌های مختلف با کمک روش در ژل ۱۲/۵ درصد رنگ‌آمیزی شده با کوماسی R-250 مورد ارزیابی قرار گرفت (۱۶). سلول‌های باکتری در محیط کشت پس از القا در ساعت‌های مذکور جمع‌آوری و رسوب داده شدند. رسوب باکتری‌های مذکور بعد از شستشو شدن با بافر NaCl تخریب (۵۰ میلی‌مول NaH₂PO₄، ۳۰۰ میلی‌مول آنزیم لیزوزیم (5mg/ml) و PMSF (170µg/ml) به شکل سوسپانسیون در آمده و بر روی یخ در ده نوبت با فاصله‌ی چهل و پنج ثانیه و در هر نوبت سی ثانیه با فرکانس ۰/۶ ثانیه و توان ۷۰ درصد تحت اثر امواج فراصوت قرار گرفتند تا بهطور کامل متلاشی شوند. در مرحله‌ی بعد لیزات سلولی در ۲۰۰۰۰×g برای مدت ۲۰ دقیقه سانتریفیوژ شدند. به منظور

شامل ۹۴، ۵۶ و ۷۲ درجه‌ی سانتی‌گراد هر کدام یک دقیقه در نهایت یک مرحله ۷۲ درجه‌ی سانتی‌گراد به مدت ۱۰ دقیقه انجام گرفت.

سویه‌های باکتریایی، ناقل‌ها و آنزیم‌ها: اشريشیاکولی DH5α JM107 و اشريشیاکولی BL21-DE3 به ترتیب به عنوان میزبان‌های تکثیری و بیانی استفاده شدند. پلاسمیدهای pET28a(+) و pUC57 به ترتیب جهت کلون و بیان ژن هدف مورد استفاده قرار گرفتند. آنزیم‌های محدودکننده HindIII و BamHI در برش‌های آنزیمی و DNAT4 لیگاز (Fermentas) در واکنش الحاق استفاده شدند. از آنزیم PolymeraseTaq DNA PCR نیز جهت تکثیر و تایید قطعه‌ی ژن هدف در پلاسمید بیانی با استفاده شد (۲).

ساب کلون ژن HP-NAP: پلاسمید pUC57+HP-NAP حاوی ژن سیستیک NAP (Accession Number: HQ831507) در میزبان اشريشیاکولی JM107 تکثیر شد و با استفاده از کیت تخلیص پلاسمید (Fermentase) در پلاسمید بیانی پلاسمید (Novagen) pET28a(+) در پلاسمید هضم آنزیمی با آنزیم‌های محدودکننده BamHI و III قرار گرفت (۲). قطعه‌ی بریده شده ژنی پس از خالص سازی از ژل، در پلاسمید (+) pET28a(+) به توسط همین دو آنزیم بریده شده بود با واکنش الحاق (Ligation) وارد گردید. در تمامی مراحل برای تخلیص قطعه و یا پلاسمید بریده شده از روی ژل از کیت تخلیص (Roche) استفاده شد. محصول الحاق (پلاسمید نوترکیب JM107 (pET28a(+)-NAP) به باکتری اشريشیاکولی انتقال داده شد. غربالگری باکتری‌های حامل پلاسمیدهای مورد نظر به کمک روش PCR و با استفاده از آغازگرهای اختصاصی طراحی شده ژن HP-NAP بهینه شده، انجام گردید. جهت تایید نهایی کلون

بلاط Bio-Rad در شرایط مرطوب منتقل شد. برای کنترل انتقال پروتئین از مارکر پروتئینی از پیش رنگ شده استفاده گردید (Pre-stain ladder SM0607). مسدود سازی TBS (Blocking) با محلول PVDF غشاء (Blocking) (TBS) ۵۰ میلی مولار Tris، ۱۵۰ میلی مولار NaCl (Fat Free Milk) حاوی ۵ درصد شیر خشک (Roche) به مدت ۳ ساعت انجام گرفت. در مرحله‌ی بعد غشا با آنتی‌بادی مونوکلونال موشی برعلیه 6His-tag (Roche) در بافر TBS-T بار قوت ۱:۱۰۰۰ به مدت ۳ ساعت در دمای اتاق مجاور شد. شستشو با بافر TBS (TBS-T) حاوی ۰/۰۵ درصد توئین ۲۰ انجام شد. پس از شستشوی نهایی غشا با محلول ۰/۰۶ درصد DAB (۵۰ میلی مولار Tris) به همراه یک دهم درصد آب اکسیژنه قرار گرفت و پس از ظهور باند واکنش با آب مقطر متوقف شده و از آن عکس تهیه گردید (۱۶).

یافته‌ها

بررسی هم‌ردیفی پروتئین: ژن HP-NAP: ژن HP-NAP در تمامی سویه‌های هلیکوباکترپیلوری حفاظت شده و مقایسه‌ی ترادف اسیدهای آمینه پروتئین HP-NAP در بسیاری از سویه‌های استاندارد و بیماری‌زای این باکتری همسانی (Identity) ۹۸٪ را در بین آن‌ها مشخص می‌نماید.

بهینه و کلون‌سازی توالی ژن HP-NAP: ترادف کد کننده‌ی ژن HP-NAP با تغییر عوامل متعددی که می‌توانند بر روی بیان آن در باکتری اشریشیاکلی تاثیر گذار باشند، بهینه گردید. این بهینه سازی در ۲ بخش قابل بررسی بود که در بر گیرنده‌ی تنظیم Codon usage bias (شکل ۱) و افزایش درصد محتواهای سایتوزین و گوانین می‌شد (شکل ۲).

افزایش شاخص Codon Adaptation Index (CAI) نشان دهنده‌ی افزایش کدون‌های مورد استفاده برای بیان این ژن در باکتری اشریشیاکلی است (شکل ۱-الف). پراکندگی درصد

پیگیری نحوه‌ی بیان پروتئین، به شکل رسوبی (Inclusion Body) و یا محلول، برای تعیین روش مناسب تخلیص پروتئین با استفاده از رزین نیکل، (QIAGEN) یک نمونه از مایع رویی به تنها یک نمونه از رسوب پس از حل شدن در بافر B (۱۰۰ میلی مولار NaH₂PO₄، ۸ مولار اوره pH=۸ Tris-Cl) به‌وسیله رزین SDS-PAGE مورد بررسی قرار گرفتند. برای تولید نیکل و HP-NAP یک کشت شبانه به شرحی که قبلاً داده شد تهیه و از آن برای کشت مجدد ۵۰۰ میلی‌لیتری استفاده گردید. زمانی که جمعیت باکتری‌ها به کدورت مناسب رسیدند با ۱ میلی‌مول IPTG القا و به مدت پنج ساعت بعد از آن در ۳۷ درجه‌ی ۸ سانتی‌گراد نگهداری شدند. پس از این زمان، سلول‌های باکتری با سانتریفوژ در ۹۰۰۰×g جمع‌آوری و با بافر Tris بیست میلی مولار شستشو داده شدند. با انتخاب روش تخلیص پروتئین‌های نوترکیب تحت شرایط رسوبی (Denature Condition) رسوب سلول‌های باکتری در بافر B حل و پس از انتقال به ستون رزین نیکل (QIAGEN)، با بافر C (۱۰۰ میلی‌مول Tris-HCl و ۸ مول اوره، pH=۶/۳) شستشو شده و در پایان با استفاده از بافر استخراج (باfer C) حاوی ایمیدازول ۲۵۰ میلی مولار (pH=۶/۳)، پروتئین از ستون جدا و جمع‌آوری شد (۱۴ و ۲۲). میزان خلوص پروتئین‌ها به کمک SDS-PAGE مورد بررسی قرار گرفته، غلطت پروتئین با روش براد فورد تعیین و مقدار کل پروتئین خالص شده از یک لیتر کشت باکتری محاسبه گردید (۲۳). پیش‌بینی وزن ملکولی پروتئین بیان شده در پلاسمید بیانی با ExPASy- Compute pI/Mw tool استفاده از نرم افزار انجام گردید.

وسترن بلاط: پروتئین نوترکیب از ژل SDS-PAGE به کاغذ پلی وینیلیدین دی فلورید (PVDF) توسط دستگاه

از تشکیل ساختارهای نامناسب اعم از لوب، دایمر و یکسان بودن طول آغازگرها و نزدیک بودن دمای آنلینگ و اتصال اختصاصی رعایت گردیده است. ساب کلون‌سازی در (+) pET28a(+)؛**الحق ژن بهینه شده HP-NAP** بدرون پلاسمید pET28a(+) با موفقیت انجام شد. نتایج آزمایش PCR با آغازگرهای طراحی شده و تکثیر قطعه‌ای به طول (bP) ۴۴۷ باز (شکل ۷) و همچنین خروج قطعه‌ای با همین اندازه در نتیجه‌ی هضم آنزیمی با آنزیم‌های محدود‌دائر *HindIII* و *BamHI* برروی پلاسمید نوترکیب pET28a(+)-NAP این الحق را تایید می‌نماید (شکل ۸).

بيان و تخلیص پروتئین نوترکیب HP-NAP: نتایج SDS-PAGE بیان یک پروتئین در محدوده‌ی باند ۲۰ کیلو Daltonی راهنمای وزنی را نشان می‌دهد که با وزن مولکولی حدود ۲۰۴۷۷ Dalton پیش‌بینی شده همخوانی دارد (شکل ۹-الف) وزن خود پروتئین حدود ۱۶۹۳۳ Dalton است (۱۴۴ اسید آمینه) و اضافه شدن ۳۴ اسید آمینه مربوط به جایگاه چند گانه کلونینگ (Multiple Cloning Site) به ابتدای آن موجب افزایش ۳/۵ pET32a(+) به ابتدای آن موجب افزایش ۳/۵ کیلو Daltonی آن شده است. بیان این پروتئین از ساعت سوم آغاز و در ساعت پنجم به بیشترین مقدار خود رسید بین ساعت پنجم، هفتم و القای شبانه تفاوت قابل ملاحظه‌ای وجود نداشت. با بررسی‌های انجام شده مشخص شد که بیشترین مقدار پروتئین نوترکیب به صورت ذرات جامد غیر محلول (اینکلوزن) در فاز رسوبی قرار دارند. رسوبی بودن این پروتئین با نتایج به دست آمده از تخلیص فاز مایع حاصل از لیزات سلول با روش Native و استفاده از بافرهای فاقد اوره نیز تایید گردید و مشخص شد تنها مقادیر اندکی از پروتئین در فاز مایع قرار دارد. بررسی الکتروفورتیک نتایج تخلیص پروتئین نوترکیب حاکی از خلوص قابل توجه این پروتئین می‌باشد (شکل ۹-الف). نتایج حاصل از وسترن بلاستینگ بیان این پروتئین را به طور اختصاصی تایید کرده و

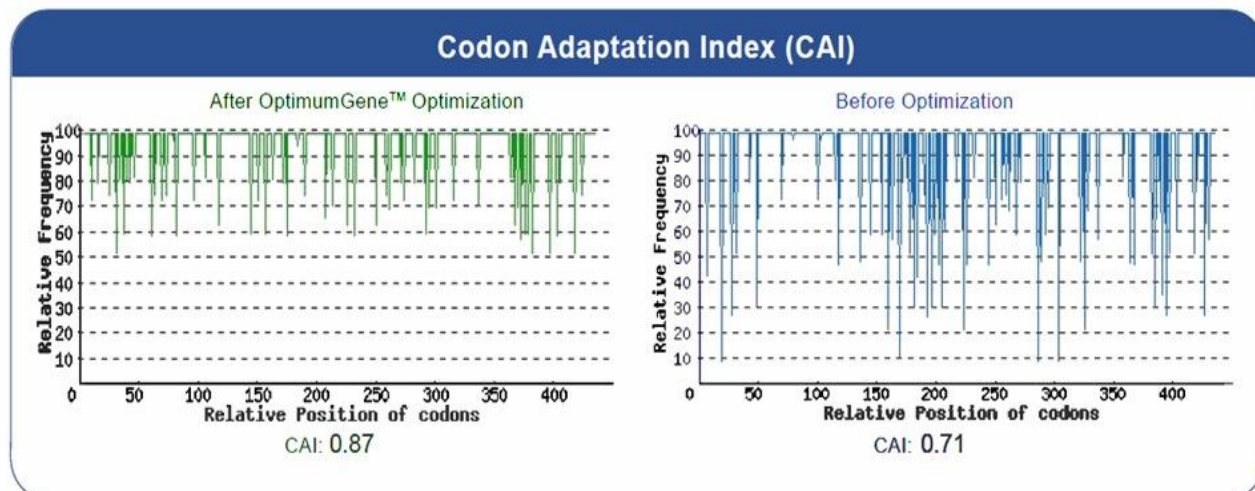
(Frequency of Optimal Codon) کاربرد کدن‌های مورد استفاده در بعد از بهینه شدن به کمترین حد ممکن کاهش یافته و تغییرات با انتخاب کدن‌هایی بوده است که در مسیر متابولیسم سلول اشریشیا کلی بیشترین کاربرد را داشته‌اند (شکل ۱-ب). انتخاب و تغییر کدن مناسب به‌نحوی بوده که محتوی سیتوزین + گوانین از ۳۸ درصد حد اکثر به ۴۵ درصد افزایش یافته است (شکل ۲). در مراحل بهینه‌ی کردن ساختارهای mRNA در Stem-Loop اولیه که منجر به اختلال در اتصال ریبوزوم می‌گردد، برداشته شده و این تغییر با مقایسه‌ی بین ساختمان دوم mRNA در قبل و بعد از بهینه‌سازی ژن HP-NAP در شکل ۳ قابل مشاهده است. مقایسه‌ی تغییر در بازه‌ای قبل و بعد از بهینه شدن ژن HP-NAP به‌وضوح میزان کم کدن‌های مورد استفاده در باکتری اشریشیا کلی را قبل از تغییر این ژن نشان می‌دهد (شکل ۴). ژن HP-NAP با موفقیت پس از بهینه‌سازی در پلاسمید pUC57 توسط شرکت سازنده کلون سازی شد. نتایج حاصل از تعیین توالی ژن بهینه ساخته شده و مقایسه‌ی هم ردیفی ترجمه‌ی ترادرف اسید آمینه کد شده توسط آن با پروتئین هدف هیچ‌گونه تغییری را در اسیدهای آمینه کد شونده به‌وسیله‌ی ژن بهینه شده نشان نمی‌دهد (شکل ۵) و تایید می‌نماید که اعمال تغییرات روی ژن بدون هیچ‌گونه تغییری بر روی ردیف اسیدهای آمینه در پروتئین هدف بوده است. نتایج مقایسه‌ای سایر تغییرات در شکل ۶ آمده است.

آغازگرهای طراحی شده: آغازگرهای پیش رونده (Forward) بـا تـرادرف ۵□ GGA,TCC,ATG,AAA,ACC,TTC,GA ۳□ و معکـوس (Reverse) بـا تـرادرف ۵□ AAGCTTTACGCCAGGTGC ۳□ کدام ۲۰ باز) توانایی شناسایی ژن بهینه شده HP-NAP را در روی هر یک از پلاسمیدهای pET28a و pUC57 دارا می‌باشد. در طراحی آغازگرهای ملاحظات لازم برای پیشگیری

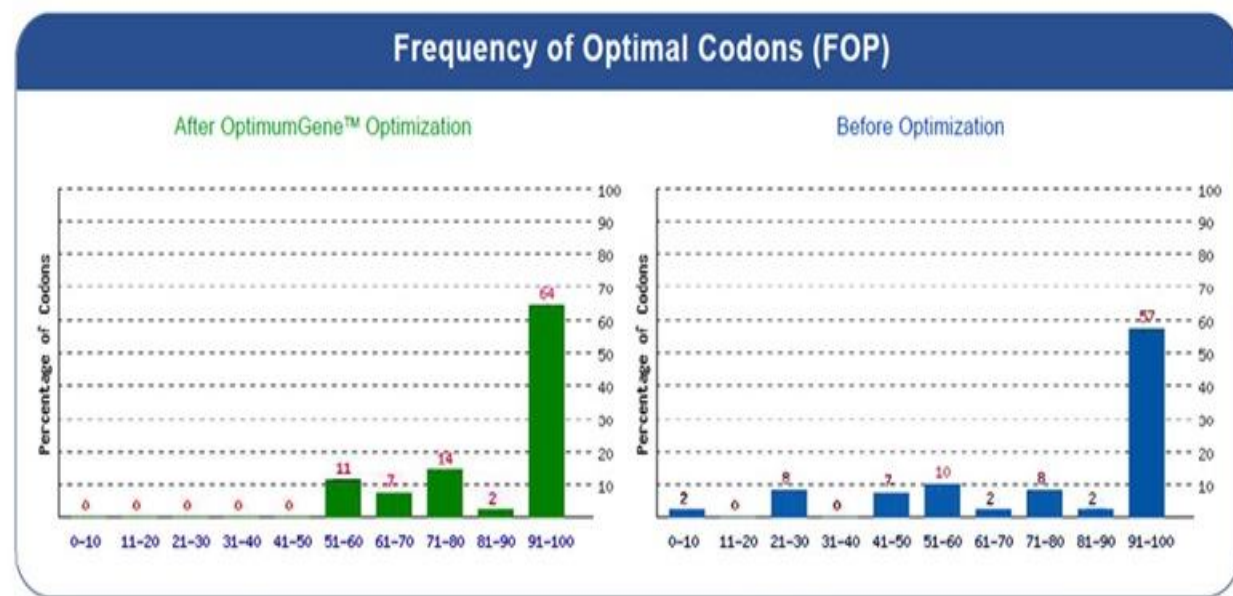
پروتئین رسویی از یک لیتر کشت باکتری حدودا میزان ۸۰۰ میلی گرم تعیین شد.

نشان می دهد از درجهی خلوص بالایی برخوردار است (شکل ۹-ب). براساس اندازه گیری با روش برادفورد به همراه استاندارد (BSA) و اسپکتروفتومتری، استحصال

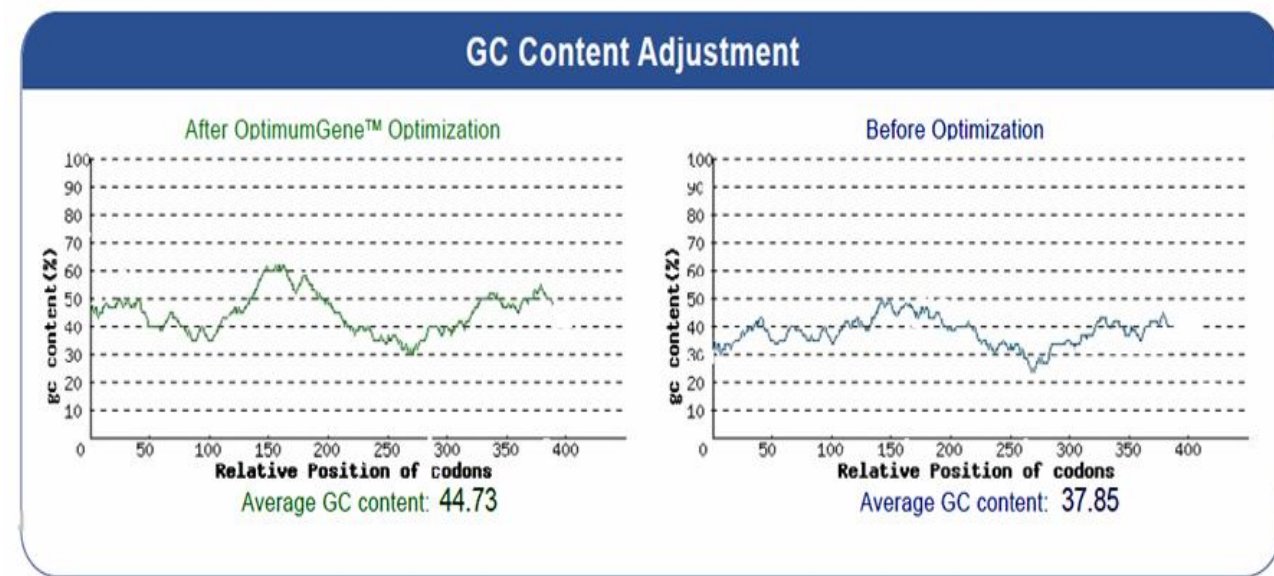
Codon usage bias adjustment



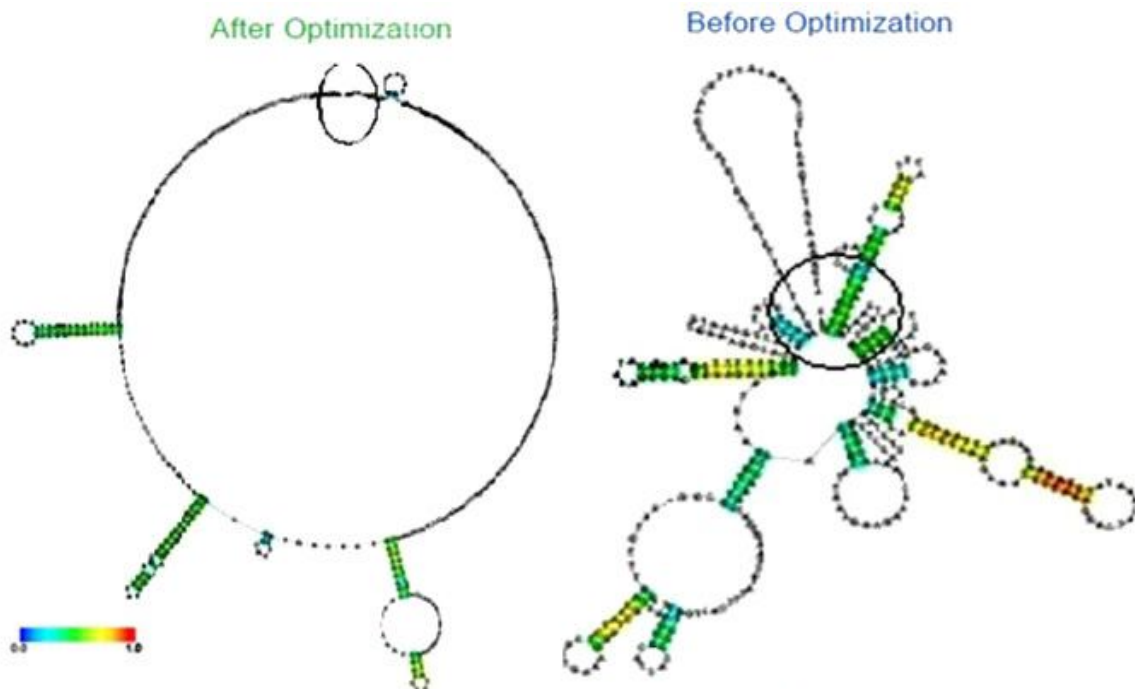
شکل ۱-الف: توزیع و فرکانس Codon usage bias adjustment CAI در طول ژن HP-NAP. آیده آل ترین مقدار شاخص CAI برای بیان یک ژن برابر ۰/۹ به معنی سطح بیان حداکثری است (High expression) است و مقادیر بالاتر از ۰/۹ به معنی سطح بیان حداقلی است (Low expression).



شکل ۱-ب: فرکانس توزیع کدون ها در ژن HP-NAP بین گروه های مختلفی که بر اساس درصد کاربری آنها در باکتری اشرشیا کلی تنظیم شده اند مقایسه قبل و بعد از بهینه سازی تجمع کدون های بهینه شده در گروه های با درصد کاربری بالاتر نشان می دهد



شکل ۲: مقایسه محتوای درصد سیتوزین گوانین قبل و بعد از بهینه سازی ژن HP-NAP



شکل ۳: مقایسه ساختار دوم mRNA قبل و بعد از بهینه سازی ژن. دایره بر روی شکل موقعیت جایگاه اتصال ریبوزوم را نشان می دهد. در حالت بهینه این جایگاه برای اتصال به ریبوزوم هیچگونه محدودیت فضایی ندارد

Optimized	7	ATGAAAACCTTCGAAATCCTGAAACACCTCGAAGCCGACGCCATCGTTCTGTTATGAAA
Original	7	ATGAAAACATTGAAATTCTAAAACATTGCAAGCGGATGCGATCGTGTATTATGAAA
Optimized	67	GTCCACAACCTCCACTGGAATGTCAAAGGCACCGATTCTTTAACGTTCTAAAGCGACG
Original	67	GTGCATAACTCCATTGGAATGTGAAAGGCACCGATTCTTCAATGTGCATAAAGCCACT
Optimized	127	GAAGAAATTATGAAAGAATTGCGGACATGTTGATGACCTGGCGAACGTTATCGCCAG
Original	127	GAAGAAATTATGAAAGAGTTGCGGACATGTTGACGATCTGCTGAAAGGATCGTTCAA
Optimized	187	CTGGGTCATCACCCGCTGGTGACCCCTGAGTGAAAGCAATTAAACTGACGGCGTCAAAGAA
Original	187	TTAGGGCATCACCCCTAGTCACTTATCGAAGCGATCAAACACTCGTGTAAAGAA
Optimized	247	GAAACCAAAACGAGCTTCACTCTAAAGATATCTCAAGAAATCTGAAAGACTACAAA
Original	247	GAAACTAAAACGAGCTTCACTCTAAAGACATCTTAAAGAAATTCTAGAGGACTACAAA
Optimized	307	TACCTGAAAAAGAATTGAAAGAACTGAGCAACACCGCAGAAAAAGAAGCGATAAGTG
Original	307	TATCTAGAAAAAGAATTAAAGAGCTCTCTAACACCGCTGAAAAAGAAGCGATAAGTT
Optimized	367	ACCGTTACGTAACGCTGACGGACCAACTGGCGAAACTGCAAAATCTGATCTGGATGCTGCAA
Original	367	ACCGTAACCTATGCGGATGATCAATTAGCCAAGTTGCAAAATCCATTGGATGCTGCAA
Optimized	427	GGCACCTGGCTAA
Original	427	GCCCATTGGCTAA

شکل ۴: مقایسه ترادف ژن HP-NAP قبل و بعد از بهینه سازی ژن . رنگ فرم رازهای تغییر یافته را نشان می دهد.

Optimized	1	MKTFEILKHLQADAIVLFMKVHNPHWNVKGTDFNVHKATEEIYEEFADMFDLAEIRIVQ
Original	1	MKTFEILKHLQADAIVLFMKVHNPHWNVKGTDFNVHKATEEIYEEFADMFDLAEIRIVQ
Optimized	61	LGHPLVTLSEAIKLTRVKEETKTSFHSKDIFKEILEDYKYLEKEFKELSNTAEKEGDKV
Original	61	LGHPLVTLSEAIKLTRVKEETKTSFHSKDIFKEILEDYKYLEKEFKELSNTAEKEGDKV
Optimized	121	TVTYADDQLAKLQKSIWMLQAHLA*
Original	121	TVTYADDQLAKLQKSIWMLQAHLA*

شکل ۵: هم ردیفی اسیدهای آمینه کد شده توسط ژن HP-NAP در قبل و بعد از بهینه سازی

Restriction Enzymes

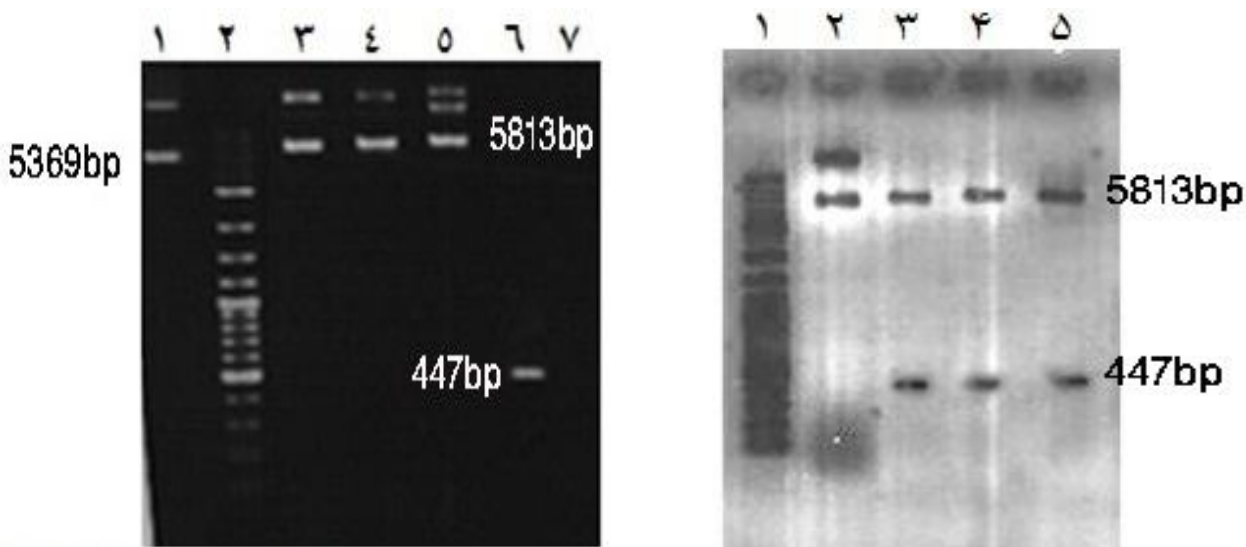
* Green: filtered sites; Blue: checked sites (not filtered); Red: kept sites.

	Optimized	Original
HindIII(AAGCTT)	1(442)	1(442)
BamHI(GGATCC)	1(1)	1(1)
Polymerase slippage site 1	0	0
Polymerase slippage site 2	0	0
Ribosome binding site	0	0

CIS-Acting Elements

	Optimized	Original
E.coli_RBS(AGGAGG)	0	0
PolyT(TTTTTT)	0	1
PolyA(AAAAAAA)	0	0
Chi_sites(GCTGGTGG)	0	0
T7Cis(ATCTGTT)	0	0

شکل ۶: بررسی وجود سایر تراویف های اختصاصی در HP-NAP اولیه و بهینه شده.

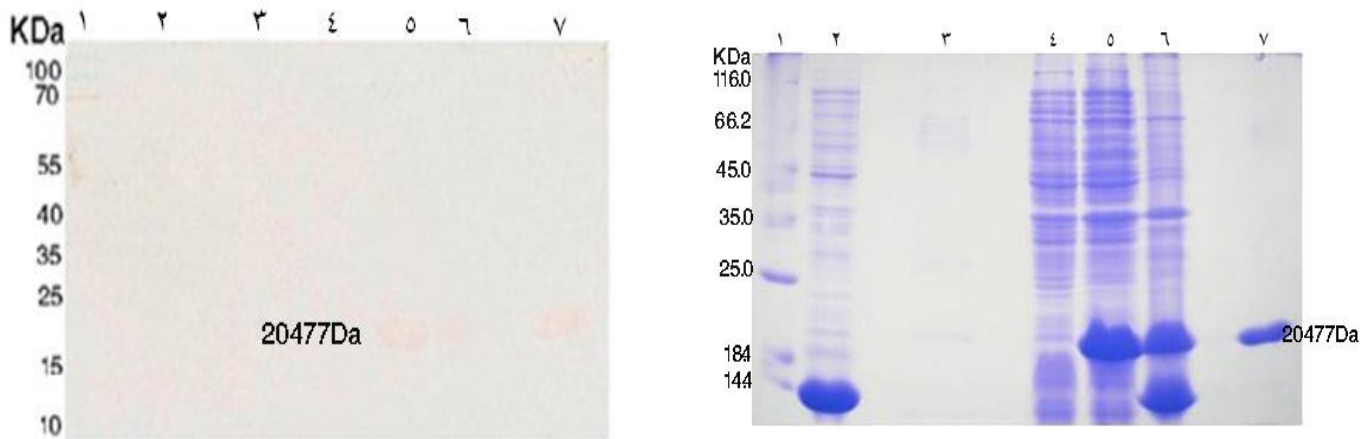


شکل ۷. تایید قطعه ژنی HP-NAP در پلاسمید pET28a(+)

- ۱- پلاسمید (+) pET28a بدون حضور قطعه HPNAP
- ۲- مارکر DNA
- ۳- ۴- ۵- کلون های مختلف پلاسمید (+) pET28a با حضور قطعه HPNAP
- ۶- آزمایش PCR و محصول تکثیر ژن Nap در پلاسمید نوترکیب (+)-NAP
- ۷- کنترل منفی

شکل ۸. نتیجه هضم آنزیمی حامل بیانی pET28a-Nap

- ۱- مارکر DNA
- ۲- پلاسمید pET28a-Nap هضم نشده
- ۳- الی ۵- کلون های مختلف pET28a(+)-NAP و pET28a(-)-NAP در نتیجه هضم آنزیمی همزمان آنزیم های BamHI و HindIII خروج قطعه HP-NAP



شکل راست ۹-الف: تخلیص، بیان و وضعیت حلالیت پروتئین *HP-NAP* در ژل *SDS-PAGE*

۱- راهنمای وزنی پروتئین *SM0431*-۲- محلول رویی حاصله از شکست سلول با لیزوزیم و امواج فرا صوتی ۳- استخراج پس از عبور محلول رویی از رزین نیکل با روش *Native* با استفاده از بافر شستشوی بدون اوره حاوی ۲۵۰ میلی مول ایمیدازول ۴- سویه حاوی پلاسمید *pET28a(+)-HP-NAP* پس از ۵ ساعت القای باکتری اشریشیاکولی *BL21-DE3* حاوی پلاسمید ۶- *HP-NAP* پس از ۷ ساعت حل شده در بافر هشت مولار اوره ۷- مرحله‌ی پایانی تخلیص پروتئین نوترکیب رسوب حاصله از شکست سلول با لیزوزیم و امواج فرا صوتی حل شده در بافر هشت مولار اوره ۸- رسوب حاصله از بافر شستشوی (*Buffer C*) حاوی اوره هشت مولار و ۲۵۰ میلی مول ایمیدازول.

شکل چپ ۹-ب: (الگوی قارگیری نمونه‌ها در این ژل با ژل تصویر راست یکسان است). وسترن بلاست با آنتی‌بادی ضد ساختار پلی‌هیستیدین متصل شده به پروتئین وزنی *HP-NAP* با استفاده از بافر شستشوی *Denature*.

۱- راهنمای وزنی پروتئین (*SM0671* (*Prestain ladder*))-۵- ۷- جواب مثبت پاسخ شماره ۶ در ژل به طور ضعیف دیده می‌شود. بقیه‌ی جواب‌ها نیز مطابق انتظار منفی است.

شده است (۱۲). در این مطالعه با بهره‌گیری همزمان از ابزارهای بیوانفورماتیک و تجربیات عملی سعی شد تا با اتخاذ روشی منطقی مشکل کاهش بیان آنتی ژن *HP-NAP* که از جدی‌ترین مشکلات پیش روی تولید و کاربرد این پروتئین است، مرتفع گردد. خواستگاه متفاوت و بالا بودن محتوی آدنین و تیمین این پروتئین از مهمترین دلایل کاهش بیان آن در میزان‌های پروکاریوتیک مثل باکتری اشریشیاکلی و باسیلوس سابتیلیس می‌باشد (۱۰ و ۱۲). این اشکال به همراه فاکتورهای متعددی که بیان ژن را تحت تاثیر قرار می‌دهند به کمک ابزارهای بیوانفورماتیک تصحیح و سرانجام ژنی طراحی و ساخته شد که پیش‌بینی گردید پروتئین *HP-NAP* را در مقادیر بالایی در میزان بیانی اشریشیاکلی بیان کند. از عوامل موثر در افزایش این پتانسیل، ارتقای محتوای

بحث

شیوع جهانی عفونت با هلیکوباکترپیلوری در جوامع بشری و افزایش بروز مقاومت دارویی، ساخت و طراحی واکسن را به عنوان منطقی‌ترین روش مبارزه برعلیه این عفونت، پیش روی محققین قرار داده است (۱۱). در بین انواع آنتی ژن‌های شناخته شده از هلیکوباکترپیلوری، *HP-NAP*، دارای ویژگی‌های منحصر به فردی است که سبب شده محققین آن را انتخاب مناسبی برای ساخت واکسن بر علیه این عفونت و حتی بعضی از بیماری‌های دیگر نیز بدانند (۱۰ و ۱۲). پروتئین *HP-NAP* عضو گروه پروتئین‌های شبه فریتین است (Ferritin-Like Proteins) و بررسی‌های هم ردیفی در این مطالعه نشان می‌دهد تنوع این پروتئین در بین سویه‌های مختلف بسیار کم و توالي آن در بین آن‌ها حفاظت

پروتئین MBP (Maltose Binding Protein) انجام شده بود، صد میلی گرم در لیتر بوده است که این مقدار در مقایسه با مقدار بیان این پروتئین در مطالعه (۸۰۰ میلی گرم در لیتر) حاضر بسیار پایین تر است (۱۸). از مجموع نتایج بلاتینگ پروتئین نوترکیب تولید شده با آنتی بادی ضد هیستیدین و تعیین تراالف صحت پروتئین تولیدی تایید می شود.

نتیجه گیری

کاربرد ابزار بیوانفورماتیک در بهینه کردن ژن HP-NAP جهت تولید انبوہ این پروتئین موفق بود. با توجه به نتایج این مطالعه به نظر می رسد کاربرد این ابزارها روشی منطقی در بهینه کردن ژن هایی با منشا متفاوت جهت بیان در میزبان های بیانی دیگر باشد.

تشکر و قدردانی

این مقاله قسمتی از پژوهه دکتری می باشد که توسط دانشگاه تربیت مدرس حمایت مالی شده است. از مرکز تحقیقات گوارش و کبد، مرکز تحقیقات نانوبیوتکنولوژی دانشگاه علوم پزشکی شهید بهشتی و پژوهشگاه ملی مهندسی ژنتیک و زیست فن آوری که در اجرای این تحقیقات همکاری داشته اند سپاسگزاری می گردد.

سیتوزین گوانین بود که سبب افزایش طول عمر mRNA می شود. علاوه بر این شکست ساختارهای نامناسبی مثل Stem-loop که ممانعت فضایی در چسبیدن mRNA به جایگاه اتصال ریبوزوم ایجاد می کنند و حذف عناصر Negative Cis-Acting Sites افزایش بیان را ترغیب می نماید. در مطالعات قبلی نیز کاربرد بیوانفورماتیک در بهینه سازی بیان ایمونوژن چند قسمتی تهیه شده از آنتی ژن های باکتری اشریشیاکلی O157 H:7 جهت افزایش بیان در گیاه موفق بوده است (۲۴). در این مطالعه تجربیات عملی در کلون و بیان این ژن بهینه شده درمی بان بیانی اشریشیاکلی و تولید پروتئین نوترکیب HP-NAP، صحت پیش بینی های انجام شده توسط نرم افزارهای بیوانفورماتیک را تایید کرده، موفقیت این روش را در افزایش قابل ملاحظه تولید پروتئینی که مقادیر کم بیان آن در مطالعات قبلی اشاره شده بود را نشان می دهد (۱۸ و ۲۰). در مقایسه با مطالعات قبلی که با تغییر و کنترل شرایط کشت بیان این پروتئین را افزایش می داد (۱۹)، بهینه سازی در سطح ژن ضمن اینکه بیان این پروتئین را در ساده ترین شرایط کشت با مقادیر قابل توجهی افزایش داده از سرعت تولید بالاتری نیز برخوردار بود (۵ ساعت در مقابل ۲۴ ساعت). که این مساله در کاهش هزینه های تولید حائز اهمیت است بیشترین مقدار بیان این پروتئین در مطالعه ای که از اتصال این پروتئین با

References

- Agarwal K, Agarwal S. Helicobacter pylori vaccine: from past to future. *Mayo Clin Proc*. 2008; 83: 169-75.
- Iankov ID, Haralambieva IH, Galanis E. Immunogenicity of attenuated measles virus engineered to express *Helicobacter pylori* neutrophil-activating protein. *Vaccine*. 2010; 29: 1710-20.
- Del Giudice G, Malfertheiner P, Rappuoli R. Development of vaccines against *Helicobacter pylori*. *Expert Rev Vaccines*. 2009; 8: 1037-49.
- Selgrad M, Malfertheiner P. New strategies for *Helicobacter pylori* eradication. *Curr Opin Pharmacol*. 2008; 8: 593-7.
- Amieva MR, El-Omar EM. Host-bacterial

- interactions in *Helicobacter pylori* infection. *Gastroenterology*. 2008; 134: 306-23.
- 6- De Bernard M, D'Elios MM. The immune modulating activity of the *Helicobacter pylori* HP-NAP: Friend or foe? *Toxicon*. 2009; 15; 56: 1186-92.
 - 7- Satin B, Del Giudice G, Della Bianca V, et al. The neutrophil-activating protein (HP-NAP) of *Helicobacter pylori* is a protective antigen and a major virulence factor. *J Exp Med*. 2000; 191: 1467-76.
 - 8- D'Elios MM, Amedei A, Cappon A, Del Prete G, de Bernard M. The neutrophil-activating protein of *Helicobacter pylori* (HP-NAP) as an immune modulating agent. *FEMS Immunol Med Microbiol*. 2007; 50: 157-64.
 - 9- Kottakis F, Papadopoulos G, Pappa EV, Cordopatis P, Pentas S, Choli-Papadopoulou T. *Helicobacter pylori* neutrophil-activating protein activates neutrophils by its C-terminal region even without dodecamer formation, which is a prerequisite for DNA protection--novel approaches against *Helicobacter pylori* inflammation. *FEBS J*. 2008; 275: 302-17.
 - 10- Tonello F, Dundon WG, Satin B, et al. The *Helicobacter pylori* neutrophil-activating protein is an iron-binding protein with dodecameric structure. *Mol Microbiol*. 1999; 34: 238-46.
 - 11- Dundon WG, Polenghi A, Del Guidice G, Rappuoli R, Montecucco C. Neutrophil-activating protein (HP-NAP) versus ferritin (Pfr): comparison of synthesis in *Helicobacter pylori*. *FEMS Microbiol Lett*. 2001; 199: 143-9.
 - 12- Choli-Papadopoulou T, Kottakis F, Papadopoulos G, Pendas S. *Helicobacter pylori* neutrophil activating protein as target for new drugs against H. pylori inflammation. *World J Gastroenterol*. 2011; 7; 17: 2585-91.
 - 13- Amedei A, Cappon A, Codolo G, et al. The neutrophil-activating protein of *Helicobacter pylori* promotes Th1 immune responses. *J Clin Invest*. 2006; 116: 1092-101.
 - 14- Iankov ID, Penheiter AR, Carlson SK, Galanis E. Development of monoclonal antibody-based immunoassays for detection of *Helicobacter pylori* neutrophil-activating protein. *J Immunol Methods*. 2012; 384: 1-9.
 - 15- Malfertheiner P, Schultze V, Rosenkranz B, et al. Safety and immunogenicity of an intramuscular *Helicobacter pylori* vaccine in noninfected volunteers: a phase I study. *Gastroenterology*. 2008; 135: 787.
 - 16- Amani J, Salmanian AH, Rafati S, Mousavi SL. Immunogenic properties of chimeric protein from espA, eae and tir genes of *Escherichia coli* O157: H7. *Vaccine*. 2010; 28: 6923-9.
 - 17- Amani J, Mousavi SL, Rafati S, Salmanian AH. Immunogenicity of a plant-derived edible chimeric EspA, Intimin and Tir of *Escherichia coli* O157: H7 in mice. *Plant Sci*. 2010; 180: 620-7.
 - 18- Kang QZ, Duan GC, Fan QT, Xi YL. Fusion expression of *Helicobacter pylori* neutrophil-activating protein in E.coli. *World J Gastroenterol*. 2005; 11: 454-6.
 - 19- Niccolai A, Fontani S, Kapat A, Olivieri R.

- Maximization of recombinant *Helicobacter pylori* neutrophil activating protein production in *Escherichia coli*: improvement of a chemically defined medium using response surface methodology. *FEMS*. 2003; 221: 257-62.
- 20- Amani J, Mousavi SL, Rafati S, Salmanian AH. In silico analysis of chimeric espA, eae and tir fragments of *Escherichia coli* O157:H7 for oral immunogenic applications. *Theor Biol Med Model*. 2009; 6: 28.
- 21- Sato K, Hamada M, Asai K, Mituyama T. CentroidFold: a web server for RNA secondary structure prediction. *Nucleic Acids Res*. 2009; 37: W277-W80.
- 22- Aghbaba H, Mohabati Mobarez A, Behmanesh M, Khoramabadi N, Mobarhan M. Production and purification of mycolyl transferase B of *Mycobacterium tuberculosis*. *Tanaffos*. 2011; 10: 23-30.
- 23- Dakterzada F MMA, Habib Roudkenar M, Forouzandeh M. Cloning and expression of N-terminal domain of *pseudomonas aeruginosa* flagellin and evaluation of antibodies raised against it on motility inhibition of *pseudomonas aeruginosa*. *J Zanjan Uni Med Sci*. 2012; 20: 1-11.

Application of Bioinformatics and Genetic Engineering for Designing Optimized Cloning and Overexpression of Neutrophil Activating Protein of *Helicobacter pylori* in *Escherichia coli*

Haghghi MA¹, Mohabati Mobarez A¹, Salmanian AH², Zali MR³, Moazzeni SM⁴, Karkhane AA⁵

¹Dept. of Bacteriology, Faculty of Medical Sciences, Tarbiat Modares University, Tehran, Iran.

²Dept. of Plant Biotechnology. National Institute of Genetic Engineering and Biotechnology (NIGEB), Tehran, Iran.

³Research Center for Gastroenterology and Liver Diseases (RCGLD), University of Shahid Beheshti Medical Sciences, Tehran, Iran.

⁴Dept. of Immunology, Faculty of Medical Sciences, Tarbiat Modares University, Tehran, Iran.

⁵Dept. of Industrial and Environmental Biotechnology, National Institute of Genetic Engineering and Biotechnology (NIGEB), Tehran, Iran.

Corresponding Author: Mohabati Mobarez A, Dept. of Bacteriology, Faculty of Medical Sciences, Tarbiat Modares University, Tehran, Iran.

E.mail: mmmobarez@modares.ac.ir

Received: 23 Jul 2012 **Accepted:** 3 Feb 2013

Background and Objective: As the main virulence factor of *Helicobacter pylori*, HP-NAP has an important role in immunoprotection against this pathogen. This antigen is a strong candidate as a part of multi-component vaccine in the clinical trial against this bacterium. Due to NAP importance, it was used in this study as a template for optimization of heterologous genes with a low A-T content and low expression in *E. coli*.

Materials and Methods: A synthetic single gene that could reach the highest level of expression in the host was designed by using bioinformatics tools.

Results: A number of factors that influence gene expression level were changed for *HP-NAP* gene optimizing: the codon usage bias in *E. coli* was changed; the G+C content was upgraded from 38% to 45%; and the stem-loop structure was broken. These could result to prolong of the half-life of the mRNA and overexpression of recombinant of HP-NAP protein up to 800 mg per liter.

Conclusion: Applying of bioinformatics tools was appropriated to optimize of HP-NAP overexpression in *E. coli*. From our results, it appears that combination of *In Silico* and experimental approach is a logical approach for expression of heterologous genes in another host.

Keywords: *Helicobacter pylori*, *Bioinformatics*, *Optimization*, *Recombinant HP-NAP*, *Cloning*, *Expression*.